

人体模型,完全模拟超声成像的真实过程,在教师的指导下学生可以自己进行超声扫查,并利用模型中植入的电脑程序,在显示屏上模拟同步显示实时动态超声图像,达到真正的模拟操作。该教学方法能让学生亲自动手操作实践,解决了无法在临床超声仪器上实现操作的难题,并能提高学生操作超声仪器的技巧和识别超声图像的能力,从而培养学生独立操作,体现了超声学科教学实践性和操作性的特点。但该教学法的应用有一定的局限性:①仿真模型的成本投入较高,目前在各医学院校普及较难实现;②对教学环境和管理制度要求更高,需要专人指导和负责管理。

#### 五、其他现代化教学方法在示教过程中的应用

随着信息技术的飞速发展,网络教学也成为教学过程中很重要的一部分,各种数据库的面市、各种软件的开发应用及电脑、IPAD 等工具的不断改进和升级使用,给学生的学习过程带来更多便利和乐趣,使其能更好地发挥自主学习的主观能动性,将传统的枯燥学习变得生动有趣,并增加了师生之间的互动,所

以现代教育方式已不再是简单的“教”与“学”的讲授和接受的过程,学生在学习过程中融入了更多的现代化因素,需要教师和学生共同参与,促进共同提高,从而达到“教学相长”的真正目的。

随着整合医学概念的提出和医学整合课程的改革,对不同教学方法的应用和教师的教学水平提出了更高的要求,结合超声诊断学教学的特点,在影像学专业医学生示教课程中促进教学方法的改进,不断总结完善,从而提高教师的教学水平,才能更好地适应教育方式的改革。

#### 参考文献

- [1] 游岚岚,朱小虎,查晓霞,等.医学影像专业超声医学教学改革探索[J].中国医药导报,2011,8(11):118-119.
- [2] 刘贵伦,冉海涛,成涓,等.以问题为导向的教学方法在影像专业实习带教中的应用价值探讨[J].临床超声医学杂志,2012,14(2):132-133.

(收稿日期:2017-08-29)

### · 病例报道 ·

## Ultrasonic manifestations of Warthin's tumor in the left parotid gland: a case report 左侧腮腺内 Warthin 瘤超声表现 1 例

缪伎玄 吴玉芸 薛勤

[中图法分类号] R445.1

[文献标识码] B

患者男,66岁,1年前发现左侧耳前一蚕豆大小肿物,无疼痛、麻木等不适,未予任何治疗,现自觉肿块缓慢增大,约鸡蛋大小,遂来我院就诊。体格检查:左侧耳前可触及一大约3.0 cm×2.0 cm×2.0 cm 肿块,边界清,活动度尚可,门诊拟以“左腮腺肿块”收住入院。超声检查:双侧腮腺内均见多个低回声,中央呈高回声,右侧最大者约1.3 cm×0.6 cm,左侧最大者约1.5 cm×0.9 cm。左侧腮腺内侧下极另见一大小为2.8 cm×1.9 cm的低回声,形态规则,边界清晰,内部回声不均质,后方回声增强,CDFI示其内血供稍丰富(图1)。超声提示:①左侧腮腺内实性肿块;②双侧腮腺内多发性结节(淋巴结?)。

术中见左侧肿块位于腮腺浅叶内,紧贴面神经总干,周围可见大量小淋巴结包绕,呈囊实性,最大直径约3.1 cm,包膜完整,

将肿块完整切除送检,病理结果:左侧腮腺内 Warthin 瘤(淋巴乳头状囊腺瘤)。

讨论:Warthin 瘤又称淋巴细胞性乳头状囊腺瘤,是涎腺的一种良性上皮性肿瘤,由 Warthin 首先描述而命名。肿瘤由上皮组织和淋巴样组织组成,好发于50岁以上男性,生长缓慢,多为单发,左侧常见<sup>[1]</sup>。超声显示肿块多位于腮腺后下极,边界清晰,回声低,部分可成液性,后方回声增强;CDFI示其内血供较丰富<sup>[2]</sup>。腮腺内 Warthin 瘤超声表现具有一定特异性,但与低度恶性的腮腺肿瘤或早期腮腺癌存在诸多相似之处,需要鉴别诊断。低度恶性的腮腺肿瘤或早期腮腺癌行为学上表现为生长缓慢,患者无明显感觉,超声显示其形态规则,边界尚清晰,内部回声均匀,其内血供欠丰富。超声造影可准确提供肿瘤内部的血供情况,而超声引导下肿瘤穿刺活检为定性诊断腮腺内肿瘤提供了有力依据。超声检查具有无辐射、可重复的优点,是诊断腮腺内肿瘤的重要方法。

#### 参考文献

- [1] 陈志奎,张秀娟,黄静,等.高频超声诊断腮腺肿瘤[J].中国医学影像技术,2011,27(9):1775-1778.
- [2] Bhatia KS, Rasalkar DD, Lee YP, et al. Evaluation of real-time qualitative sonoelastography of focal lesions in the parotid and submandibular glands: applications and limitations [J]. Eur Radiol, 2010,20(8):1958-1964.

(收稿日期:2017-07-20)

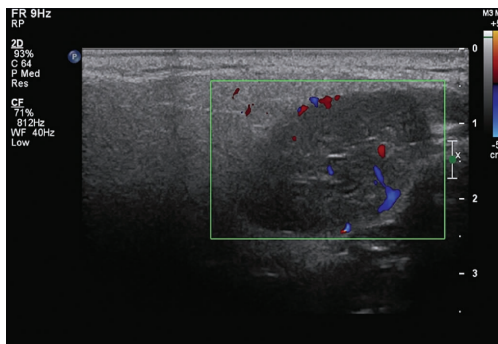


图1 左侧腮腺内 Warthin 瘤彩色多普勒超声图像